

## PAPER DETAILS

TITLE: OBLO G DELIKLI ELEKLERİ ÇEKİÇLİ DEGIRME LERI PERFORMA S

KARAKTERistikLERİ ÜZERİ E ETKİSİ

AUTHORS: Mehmet BEYHAN

PAGES: 158-169

ORIGINAL PDF URL: <https://dergipark.org.tr/tr/download/article-file/187713>

## OBLONG DELİKLİ ELEKLERİN ÇEKİÇLİ DEĞİRMEMLERİN PERFORMANS KARAKTERİSTİKLERİ ÜZERİNE ETKİSİ

Mehmet Arif BEYHAN

Ondokuz Mayıs Üniversitesi, Ziraat Fakültesi, Tarım Makinaları Bölümü  
55139 Kurupelit, SAMSUN, TÜRKİYE

Sorumlu yazar: mabeyhan@omu.edu.tr

Geliş Tarihi: 09.09.2008

Kabul Tarihi: 21.10.2008

**ÖZET:** Bu çalışmada, yuvarlak delikli eleklere karşı oblong delikli elek kullanımının, çekiçli dejirmenlerin performans karakteristikleri üzerine etkisi araştırılmıştır. Denemelerde, delik çapı 2.5, 4.5 ve 6.5 mm olan yuvarlak delikli eleklere ile delik ölçütleri 19.8x1.5, 19.8x2 ve 19.8x2.5 mm olan oblong delikli eleklere kullanılmıştır. Materyal olarak, sert beyaz buğdayın kullanıldığı öğütme işlemleri, her bir elek için 5 farklı çekiç çevre hızında yapılmıştır. Araştırma sonuçları, öğütme sonrası elde edilen ürünlerin, ortalama geometrik çap, geometrik standart sapma ve özgül yüzey alanı değerlerinin, elek tiplerine göre farklı olmakla birlikte, elek delik büyülüğu ve çekiç çevre hızına bağlı olarak değiştiğini göstermiştir. Her iki tip elekle yapılan öğütme sonrası, elde edilen örneklerin partikül büyülü dağılımları, birbirine yakın bulunmuştur. Yine, her iki elek grubunda da, öğütme kapasitesinin, elek delik büyülüğu ve çekiç çevre hızına bağlı olarak değiştiği, oblong delikli eleklere, özellikle yüksek çekiç çevre hızlarında, öğütme kapasitesini önemli düzeye artırdığı saptanmıştır. Özgül yüzey alanı  $3.37-4.60 \text{ m}^2\text{kg}^{-1}$  arasında değişen ürünlerin, oblong delikli eleklere  $70-80 \text{ ms}^{-1}$  çekiç çevre hızlarında öğütülmesinin, yuvarlak delikli eleklere göre, öğütme etkinliğini önemli düzeye artırdığı belirlenmiştir.

**Anahtar Sözcükler:** Çekiçli dejermen, Oblong delikli elek, Partikül büyülü dağılım, Enerji etkinlik katsayısı.

### THE EFFECT OF OBLONG-HOLED SCREENS ON PERFORMANCE CHARACTERISTICS OF HAMMER MILL

**ABSTRACT:** In this study, the effect of oblong-holed screen usage instead of round-holed screens on performance characteristics of hammer mill was investigated. In the experiments, hole diameters of 2.5, 4.5 and 6.5 mm for round-holed screens and hole dimensions of 19.8x1.5, 19.8x2 and 19.8x2.5 for oblong-holed screens were used. As material, grinding procedures carried out for each screen were performed at five different hammer tip speeds for grinding white hard wheat. Results obtained from the present study showed that mean geometric diameter, geometric standart deviation and specific surface area of the products differed significantly depending on screen types as well as showing variations with changing screen hole sizes and hammer tip speeds. It was also found that products from both screens types showed similar particle size distribution. Moreover, grinding capacity for both screen types varied with screen hole size and hammer tip speed. On the other hand, oblong-holed screens increased markedly grinding capacity especially at higher hammer tip speeds. Grinding with oblong-holed screens at hammer tip speeds of  $70-80 \text{ ms}^{-1}$  instead of using round-holed screens gave much higher mill efficiency for products having specific surface areas from  $3.37$  to  $4.60 \text{ m}^2\text{kg}^{-1}$ .

**Key Words:** Hammer mill, Oblong-holed screen, Particle size distribution, Energy efficiency coefficient.

### 1. GİRİŞ

Taneli ürünlerin gıda ve yem amaçlı işlenmesinde, tane büyüğünün azaltılması, en önemli ve en fazla enerji tüketen işlemidir (Dziki, 2008). Taneli veya lifli materyallerin büyülüklüklerinin azaltılmasında, yapılarının basit ve öğütülen ürünün incelik derecesinin kolay kontrol edilebilmesi nedeniyle, çekiçli dejermenlerin kullanımı oldukça yaygındır. Ancak, bu dejermenlerde, enerji kullanım etkinliğinin önemli bir göstergesi olan öğütme etkinliğinin, diğer dejermenlere göre daha düşüktür (Ayık, 1997; Dmitrewski, 1982).

Çekiçli dejermenlerin öğütme etkinliği, teknolojik (öğütülen ürünün; fiziko-mekanik özelliklerini, incelik derecesi, partikül büyülü dağılımı v.d.), mekanik (çekiç çevre hızı, rotorun dinamik özelliklerini, kırıcı ünite içindeki hava akımı v.d.) ve konstrüktif (kırıcı ünitenin boyutları, çekiçlerin şekli, kırıcı ünite duvarları ile çekiç kenarları arasındaki aralığın boyutu, kırıcı ünitenin beslenme tekniği, öğütülmüş ürünün boşaltılma tekniği, elek alanı, çarpma plakası v.d.) gibi faktörlere bağlıdır (Dmitrewski, 1982). Yapılan

çalışmalarda, teknolojik faktörler içerisinde yer alan, materyalin mekanik özelliklerinin, nem içeriğinden önemli oranda etkilendiği ve buğdayın nem içeriğindeki artışla, özgül enerji tüketiminin arttığı bildirilmektedir (Glenn ve Johnston, 1992; Mabil ve ark., 2001; Islam ve Matzen, 1988). Yine, çeşide bağlı olan buğday sertliğinin, partikül büyülü dağılımını etkilediği ve yumuşak buğdaylarda  $50 \mu\text{m}$ 'den daha küçük partikül miktarında önemli düzeye bir artışa neden olduğu saptanmıştır (Pujol ve ark., 2000). Genel olarak, öğütme uygulamalarında, partikül büyülüüğündeki azalmaya bağlı olarak, incelik derecesindeki artışın, öğütme etkinliğini azaltacak yönde etkilediği bildirilmiştir (Dmitrewski, 1982; Stamboliadis, 2007). Ayrıca, buğdayın öğütülmesinde çekiçli dejermenlerin, tanelerin mekanik özelliğini değiştiren ezme uygulaması ile birlikte kullanılmasının öğütme etkinliğini artırdığı saptanmıştır (Dziki, 2008). Mekanik faktörler içinde yer alan çekiç çevre hızının, öğütme etkinliği açısından, optimum  $60-80 \text{ ms}^{-1}$  aralığında değiştiği (Islam ve Matzen, 2002; Dmitrewski, 1982) ve bu

değerlerin üzerindeki çekiç çevre hızlarında, kırıcı ünite içindeki vantilasyon direncindeki artışa bağlı olarak, özgül enerji tüketiminin önemli düzeyde arttığı bildirilmiştir (Dmitrewski, 1982). Konstrüktif faktörler konusunda ise, Dmitrewski (1982), çekiçli değirmen boyutlarının enerji tüketimi açısından önemli olduğunu bildirmiştir ve yüksek kapasiteli değirmenler için  $D(\text{rotor çapı})/L(\text{rotor genişliği}) = 1.5 - 1.7$ , düşük kapasiteli değirmenler için ise  $D/L = 4 - 7$  olarak önermiştir. Ayrıca, en kullanışlı çekiç şeşinin, kalınlıkları 1.5-10 mm arasında değişen, uçları girintili ve düz dikdörtgen plakalar olduğunu ve çekiç kalınlığındaki azalmanın özgül enerji tüketimini %15'e varan oranlarda azalttığını bildirmiştir. Yine, Dmitrewski (1982), çekiç ucu ile elek yüzeyi arasındaki aralığın artmasıyla, öğretme kapasitesinin azaldığını ve özgül enerji tüketiminin arttığını; kırıcı ünitenin dairesel cidarına teğetsel olarak besleme yapılması durumunda ise, öğretme kapasitesinin arttığını ve buna bağlı olarak özgül enerji tüketiminin azaldığını belirtmiştir.

Konstrüktif faktörler içerisinde yer alan elekler ise, çekiçli değirmenlerin öğretme etkinliğini etkileyen en önemli faktördür. Elek delik çapı, öğütülen materyalin incelik derecesini ve öğretme kapasitesini belirler. Belirli bir incelik derecesi için öğretme kapasitesindeki artış, öğretme etkinliğini artıran temel faktördür (Fang ve ark., 1997; Koch, 1996). Bu nedenle, öğretme kapasitesini artırmak için, "delik alanı / toplam elek alanı" oranı, elek dayanımının izin verdiği ölçüde yüksek tutulmalıdır. Elek alanı kullanım faktörü olarak da adlandırılan bu oran değerleri, uygulamada, elek delik büyülüklüklerine bağlı olarak %8-%35 arasında değişmektedir (Dmitrewski, 1982). Tarımsal uygulamalarda, genellikle yuvarlak delikli elekler, yem üretim amaçlı endüstriyel ağır iş

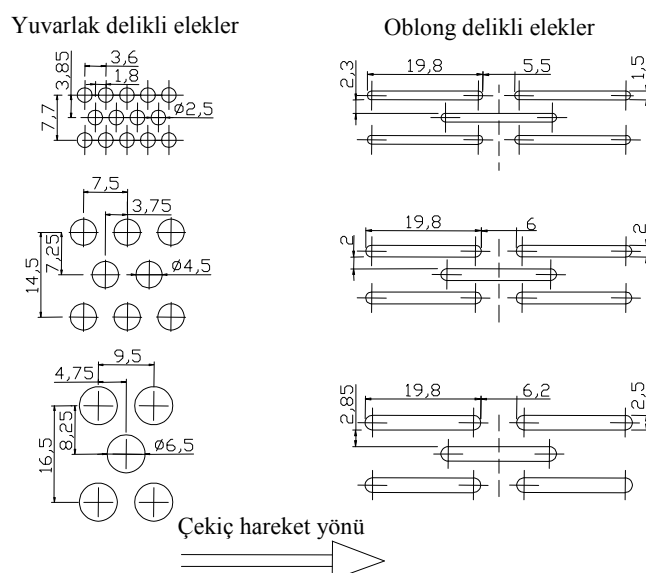
makinalarında ise cep şeklinde (rende tipi) deliklere sahip elekler kullanılmaktadır. Cep delikli elekler, keskin kenarları nedeniyle, ezme etkisini artırmakla birlikte, öğretme kapasitesini de artırmaktadır. Ancak, bu eleklerin olumsuz yönü, çok hızlı aşınmalarıdır. Yuvarlak delikli elekler, öğretme kapasitesini artırmak için konik şekilli olarak delineilmektedir. Ayrıca, rotor miline paralel olarak, elek üzerine 7 mm veya 9 mm yüksekliğinde çelik barların yerleştirilmesi, hem öğretme kapasitesini, hem de parçalama etkisini artırarak, enerji tüketiminde ortalama %15'e varan azalma sağlamaktadır (Dmitrewski, 1982).

Yukarıda verilen açıklamalara göre, çekiçli değirmenlerin öğretme etkinliği, büyük oranda, istenilen incelik derecesine ulaşan materyalin, kırıcı üniteni hızlı bir şekilde terk etmesine bağlıdır. Oblong delikli eleklerin, yuvarlak delikli elektrere göre, öğütülmüş materyali daha hızlı geçirebileceği dikkate alınarak yapılan bu çalışmada; yuvarlak delikli elektrere göre, oblong delikli eleklerde, çekiç çevre hızı ve elek delik büyülüklüğü faktörlerine bağlı olarak, öğretme sonrası elde edilen örneklerin büyülüklük dağılımının ve öğretme kapasitesinin nasıl değiştiği, belirli bir özgül yüzey alanına sahip materyal üretimi için, elek tiplerinin, aynı faktörlere bağlı olarak özgül enerji tüketimini nasıl etkilediği araştırılmıştır.

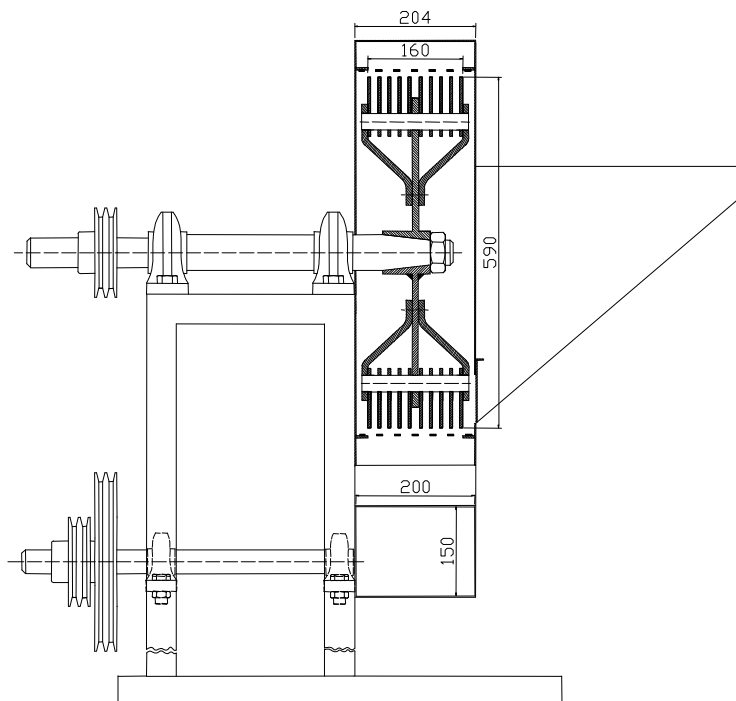
## 2. MATERİYAL VE YÖNTEM

### 2.1. Materyal

Denemelerde, delik çapı 2.5, 4.5 ve 6.5 mm olan yuvarlak delikli elekler ile delik ölçülerini 19.8x1.5, 19.8x2 ve 19.8x2.5 mm olan oblong delikli elekler kullanılmıştır. Kullanılan eleklerin delik şekli ve deliklerin geometrik ölçütleri, Şekil 1'de verilmiştir.



**Sekil 1.** Denemelerde kullanılan eleklerin delik şekli ve geometrik ölçütleri (ölçüler mm'dir).



**Şekil 2.** Denemelerde kullanılan çekici değirmenin konstrüktif özellikleri (ölçüler mm'dir).

Kullanılan eleklerde, “delik alanı / toplam elek alanı” değerleri, yuvarlak delikli eleklerde, delik çapı 2.5 mm için %35.4, delik çapı 4.5 mm için %29.2 ve 6.5 mm için %42.3, oblong delikli eleklerde ise delik genişliği 1.5 mm için %30.4, delik genişliği 2 mm için %37.5 ve delik genişliği 2.5 mm için %34.6 olarak hesaplanmıştır. Elekler, aktif elek genişliği 160 mm, çapı 610 mm olmak üzere, kırıcı ünite rotorunu 360° saracak şekilde, 2 mm kalınlığında çelik sacdan imal edilmiştir.

Eleklerin kullanıldığı kırıcı ünite, Dmitrewski (1982)'de şekli verilmiş olan, orta kapasiteli, universal kullanım olanağı sağlayan çekici değirmen örnek alınarak, çalışmanın amacına uygun olarak imal edilmiştir. İmal edilen değirmenin konstrüktif özellikleri Şekil 2'de, teknik veriler ise Çizelge 1'de verilmiştir Denemelerde, beyaz sert bugday (*Triticum aestivum L.*) kullanılmıştır. Kullanılan bugdayın hacim ağırlığı 818 kgm<sup>-3</sup> ve nem içeriği (yaş baz) %14.6 olarak ölçülmüştür.

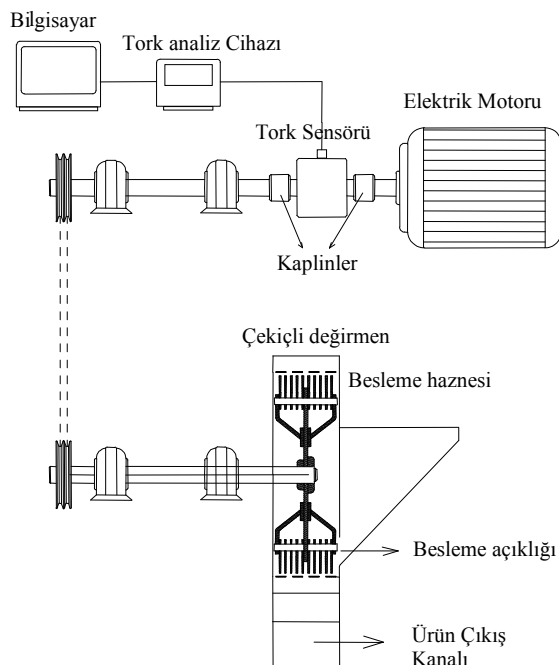
**Çizelge 1.** Denemelerde kullanılan çekici değirmenin teknik verileri.

Çekic sayısı (adet)	36 (2x10; 2x8)
Çekic ölçütleri (mm)	100x50x5
Çekic şekli	düz dikdörtgen plaka
Kırıcı ünite rotor çapı (mm)	590
Bir çekicin ağırlığı (kg)	0.18
Çekic-elek aralığı (mm)	10
Aktif elek genişliği (mm)	160
Besleme ağızı açıklığı (mm)	40x80
Besleme	gravitasyonal
Ürün çıkışı	gravitasyonal
Motor gücü (kW)	15
Motor devir sayısı (min <sup>-1</sup> )	1460

## 2.2. Yöntem

Öğütme denemeleri için kurulan sistemin akış diyagramı Şekil 3'de verilmiştir. Şekil 3'den de görüldüğü gibi, değirmen, güç ünitesine kayış kasnak mekanizmasıyla bağlanmıştır. Kırıcı ünite rotor milinin devir sayıları, 40, 50, 60, 70 ve 80 ms<sup>-1</sup> çekici çevre hızlarını sağlayacak şekilde, kasnak büyülükleri değiştirilerek kabaca ve daha sonra güç ünitesine bağlı frekans dönüştürücü ile hassas olarak ayarlanmıştır. Söz konusu hız değerleri için hesaplanan kırıcı ünite rotor devir sayıları, ayrıca Hasler tipi mekanik takometre ile kontrol edilmiştir. Öğütme işlemleri sırasında değirmenin güç gereksinimini saptayabilmek amacıyla, yine, Şekil 3'de görülen, güç ünitesindeki elektrik motorunun miline kaplinlerle direk bağlanmış olan 115-230V, 50-60 Hz, UMV 2000 model tork sensörünün, statik kalibrasyonu yapılmış ve tork sensörüne bağlı aynı model tork analiz cihazında okunan değerlerle uyumlu olduğu saptanmıştır. Öğütme işlemleri sırasında tork sensöründen alınan sinyaller, tork analiz cihazı üzerinden aynı anda bilgisayara aktarılırak (25data/s) depolanmıştır.

Her bir elekle yapılan öğütme işlemleri sırasında, değirmenin besleme ağızı kapak açıklığı 40x80 mm (3200 mm<sup>2</sup>) olarak ayarlanmıştır. Öğütme işlemleri öncesi, değirmenin besleme haznesi tam olarak doldurulmuş ve her bir öğütme işlemi süresince, kırıcı üniteye giren materyalin akış hızındaki değişimi önlemek amacıyla, besleme haznesindeki materyal miktarı sabit tutulmuştur. Güç ünitesinden veri aktarımı ve değirmenin çıkış kanalından örnek alımları için değirmenin optimum çalışma rejimine ulaşması beklenmiştir. Bu amaçla, tork analiz cihazında, tork değerlerindeki değişimin durduğu



**Şekil 3.** Öğütme denemeleri için kurulan sistemin akış diyagramı

andan sonraki zaman dilimleri dikkate alınmıştır. Öğütme kapasitesini belirlemek amacıyla, her bir uygulama için değerlmenin ürün çıkış kanalından 20 s süreyle, farklı zaman dilimlerinde, 3 ayrı öğütülmüş materyal alınarak tartılmıştır. Bu zaman dilimi içerisinde alınan materyal miktarı  $th^{-1}$ 'e dönüştürmüştür.

Özgül enerji tüketimini saptayabilmek amacıyla, her bir elek için, yükte ve boşta çalışmadaki tork değerleri 20 s sureyle bilgisayara aktarılmıştır. Boştaki tork değerlerinin ölçülmesi sırasında, vantilasyon etkisini azaltmak için besleme ağzi kapağı kapatılmıştır. Bilgisayara aktarılan tork değerlerinin ortalaması alınarak, aşağıdaki eşitlik (Yavuzcan ve ark., 1987) yardımıyla, her bir uygulama için deşirmenin güç gereksinimi hesaplanmıştır.

$N \equiv M, x n / 9550$  ..... 1

Esitlikte:

Eşitlikte,  
 $N = \text{güç (kW)}$ .

$M$  = ortalama tork (Nm)

$M_t$  = Ortalama tork (Nm),  
 $n$  = tork sensörünün bağlı olduğu milin devir sayısı ( $\text{min}^{-1}$ ).

Hesaplanan, yükteki güç değerlerinden boştaki güç değerleri çıkarılarak, öğütme için gereksinim duyulan net güç gereksinimi saptanmıştır. Net güç gereksinimi değerleri, öğütme kapasitesi değerlerine oranlanarak, her bir uygulama için özgül enerji tüketimi değerleri  $kW\text{h}^{-1}$  olarak belirlenmiştir.

Öğütülmüş materyalin partikül büyüklük dağılımını belirlemek için elek testi yapılmıştır. Bu amaçla, dejirmenin ürün çıkış kanalından materyal akışı devam ederken, farklı zaman dilimlerinde olmak

üzere, her bir uygulama için yaklaşık olarak 250 g'lık 3 ayrı örnek alınmıştır. Alınan her bir örnek, delik büyükleri 3350, 2800, 2000, 1400, 1000, 500, 250, 150  $\mu\text{m}$  (ASTM E:11) olan standart elekler kullanılarak 9 fraksiyona ayrılmıştır. Elek testlerinde, 100 g'lık örnekler kullanılmış ve her bir örnek, dairesel hareketli silkeleyici ile 10 min süreyle elenmiştir (Pasikatan ve ark. 1999; Baker ve Herrman, 2002; Tapela ve Chimbombi, 2006).

Pfost ve Headley (1972), çekiciği değiştirmenle öğütülmüş bugdayın partikül büyülüklük dağılımının, log-normal dağılıma uyduğunu bildirmiştir. Bu bildirim esas alınarak, örneklerin partikül büyülüklük dağılımlarını karakterize eden, log-normal dağılıma dayanan ortalama geometrik çap ve geometrik standart sapma değerleri sırasıyla, aşağıda verilen eşitlikler yardımıyla hesaplanmıştır (Pfost ve Headley, 1976; Baker ve Herrman, 2002; Mani ve Tabil, 2002).

Esitlikte:

$d_{gw}$  = ortalama geometrik çap ( $\mu\text{m}$ ),

$W_i$  = i. elek üzerindeki materyal ağırlığı (g).

$\bar{d}_i$  = i. eleğin üzerinde kalan partiküllerin geometrik ortalaması (cm)’dir.

Ortańska çapı ( $\mu\text{m}$ ) dir.

Eşitlikte;

$d_u$  = partiküller i. eleğe geçiren eleğin delik çapı ( $\mu\text{m}$ ),

$d_o$  = i. eleğin delik çapı (partiküllerin geçirmeyen) ( $\mu\text{m}$ )'dir.

$$S_{gw} = \log^{-1} \left[ \sum_{i=1}^n W_i (\log d_i - \log d_{gw})^2 \middle/ \sum_{i=1}^n W_i \right]^{0.5}$$

..... 4

Eşitlikte;

$S_{gw}$  = log-normal dağılımın geometrik standart sapması (birimsiz)'dır.

Özgül enerji tüketiminin bir fonksiyonu olarak, yeni yüzey alanı elde etmek için harcanan enerjinin nasıl kullanıldığını açıklayan, öğütülmüş materyalin özgül yüzey alanı değerleri (Stamboliadis, 2007) ise aşağıdaki eşitlikle hesaplanmıştır (Pfost ve Headley, 1976; Baker ve Herrman, 2002; Mani ve Tabil, 2002).

Esitlike;

*A<sub>t</sub>* = özgül yüzey alanı ( $m^2 kg^{-1}$ ),

$\beta_s$  = partiküllerin yüzey alanını hesaplamak için şekil faktörü ( $\beta_s=6$ ).

$\beta_v$ = partiküllerin hacmini hesaplamak için şekil faktörü ( $\beta_v=1$ ),

$\rho$  = materyalin özgül ağırlığı ( $\text{kgm}^{-3}$ )'dır.

Eşitlikte, materyalin özgül ağırlığı ( $\rho$ ) için, Mohsenin (1980)'de buğday için verilmiş olan değerlerin ortalaması ( $1420 \text{ kgm}^{-3}$ ) kullanılmış ve buna bağlı olarak, ortalama geometrik çap değerlerinin birimi metreye dönüştürülmüştür.

Elde edilen, ortalama geometrik çap, geometrik standart sapma, özgül yüzey alanı ve öğretme kapasitesi değerleri üzerine, elek delik büyülüğu ve çekic̄ çevre hızı faktörlerinin etkilerini saptamak amacıyla, çoklu-regresyon analizleri yapılmıştır. Ayrıca, her bir elekle, farklı çekic̄ çevre hızlarında yapılan öğretme sonucu materyale kazandırılan özgül yüzey alanı değerleri ile özgül enerji tüketimi değerleri arasındaki ilişkinin derecesini saptamak için de regresyon analizleri yapılmıştır.

Çekiçli değirmenin enerji etkinliği, Veri Zarflama Yöntemi (VZY) kullanılarak ölçülmüştür. Etkinliğin ölçülmesinde VZY, özel bir üretim fonksiyonuna ihtiyaç duyulmadığı için ve etkinliğin ölçüsü olarak kabul edilen hata terimine ait dağılımın tipinin, önceden belirlenmesi zorunluluğu olmadığı için yaygın olarak kullanılan bir yöntemdir (Coelli ve ark., 1998). Araştırmada Farrell (1957)'in girdiye yönelik etkinlik ölçümü kullanılmıştır. Etkinlik analizinde, 2 farklı elek tipi (yuvarlak delikli ve oblong delikli), her bir elek için 3 farklı delik büyüğlüğü (yuvarlak delikli eleklerde delik çapı 2,5, 4,5 ve 6,5 mm, oblong delikli eleklerde delik genişliği 1,5, 2 ve 2,5 mm) ve 5 farklı çekic çevre hızının ( $40, 50, 60, 70$  ve  $80 \text{ ms}^{-1}$ ) oluşturduğu toplam 30 uygulamanın (kombinasyon) etkinliği değerlendirilmiştir. Enerji etkinliği değeri 1' e esit

olduğunda, enerji etkinliği en yüksek seviyesinde olmakta ve başarısızlığa bağlı olarak azalmaktadır. Etkinlik ölçümünde, Coelli (1996) tarafından geliştirilen DEAP 2.1 paket programı kullanılmıştır.

### **3. BULGULAR**

### **3.1. Partikül büyüklük analizi sonuçları**

### 3.1.1. Ortalama geometrik çap ( $d_{gw}$ )

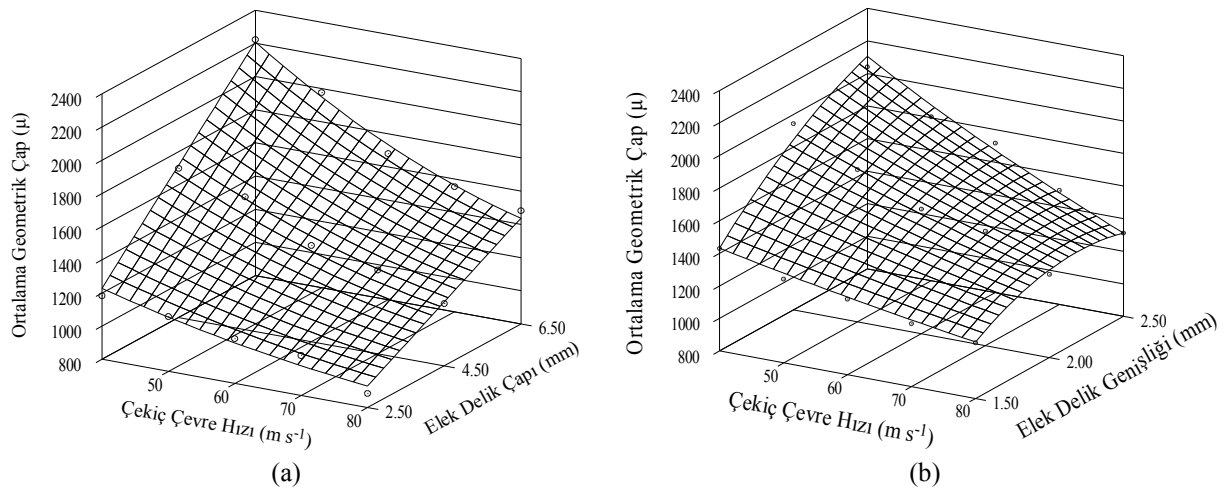
Yuvarlak ve oblong delikli eleklerle öğretme sonrasında elde edilen materyalin, çekiç çevre hızı ve elek delik büyülüklüklerine bağlı olarak  $d_{gw}$ 'nin değişimi, Şekil 4'de verilmiştir. Her bir elek tipi için yapılan çoklu-regresyon analiz sonuçları,  $d_{gw}$ 'deki değişimin, çekiç çevre hızı ve elek delik büyülüklüklerinin interaktif etkilerine bağlı olduğu göstermiştir.

Şekil 4'den görüldüğü gibi, her iki elek tipinde  $d_{gw}$ , çekici çevre hızındaki artışla azalmış ve elek delik büyülüklüğündeki artışla artmıştır. Ancak, her iki elek tipinde de, çekici çevre hızındaki artışa bağlı olarak  $d_{gw}$ 'nin azalış hızı, elek delik büyülüklüklerindeki artışla artmıştır. Buna göre,  $40-80 \text{ ms}^{-1}$  çekici çevre hızı aralığında elde edilen  $d_{gw}$  değerleri, yuvarlak delikli eleklerde, hafif bir eğrisellikle azalmak üzere,  $2.5 \text{ mm}$  çaplı elekte  $1183.1-885.7 \mu\text{m}$ ,  $4.5 \text{ mm}$  çaplı elekte  $1699.5-1174.9 \mu\text{m}$ ,  $6.5 \text{ mm}$  çaplı elekte  $2273.3-1482.9 \mu\text{m}$  arasında değişmiştir. Oblong delikli eleklerde ise, çekici çevre hızındaki artışa bağlı olarak  $d_{gw}$ ,  $1.5 \text{ mm}$  elek delik genişliğinde  $1429.3-1142.1 \mu\text{m}$ ,  $2 \text{ mm}$  elek delik genişliğinde  $1943.3-1310.9 \mu\text{m}$  ve  $2.5 \text{ mm}$  elek delik genişliğinde  $2040.9-1310.9 \mu\text{m}$  arasında olmak üzere lineere yakın bir değişimle azalmıştır.

Yine, Şekil 4'den görüldüğü gibi, elek delik büyülüklerindeki artışa bağlı olarak  $d_{gw}$ 'de görülen artışın değişim trendi, çekiç çevre hızına bağlı olarak farklı olmakla birlikte, elek tipine bağlı olarak farklı olmuştur. Buna göre, yuvarlak delikli elekte  $d_{gw}$ , düşük çekiç çevre hızlarında daha fazla olmak üzere, elek deliklarındaki artışla lineer olarak artmıştır. Oblong delikli elekte ise yüksek çekiç çevre hızlarında daha belirgin olmak üzere  $d_{gw}$ 'nin artış hızı, elek delik genişliğindeki artışla eğrisel olarak azalmıştır.

### 3.1.2. Geometrik standart sapma ( $S_{gw}$ )

Aynı örnekler için hesaplanan  $S_{gw}$  değerlerinin her iki elek tipi için, çekic̄ çevre hızı ve elek delik büyüklüklerine bağlı olarak değişimleri, Şekil 5'de verilmiştir. Yapılan çoklu-regresyon analiz sonuçları, her iki elek tipinde de,  $S_{gw}$  değerlerinde meydana gelen değişimin, istatistik açıdan önemli olmak üzere (yuvarlak delik için  $P<0.05$ , oblong delik için  $P<0.01$ ) çekic̄ çevre hızı ve elek delik büyüklüklerinin interaktif etkilerine bağlı olduğunu göstermiştir. Şekil 5'den görüldüğü gibi, yuvarlak delikli elekte, çekic̄ çevre hızının  $S_{gw}$ 'ye etkisi, elek delik çaplarına bağlı olarak farklı olmuştur. Buna göre 2.5 mm çaplı elekle

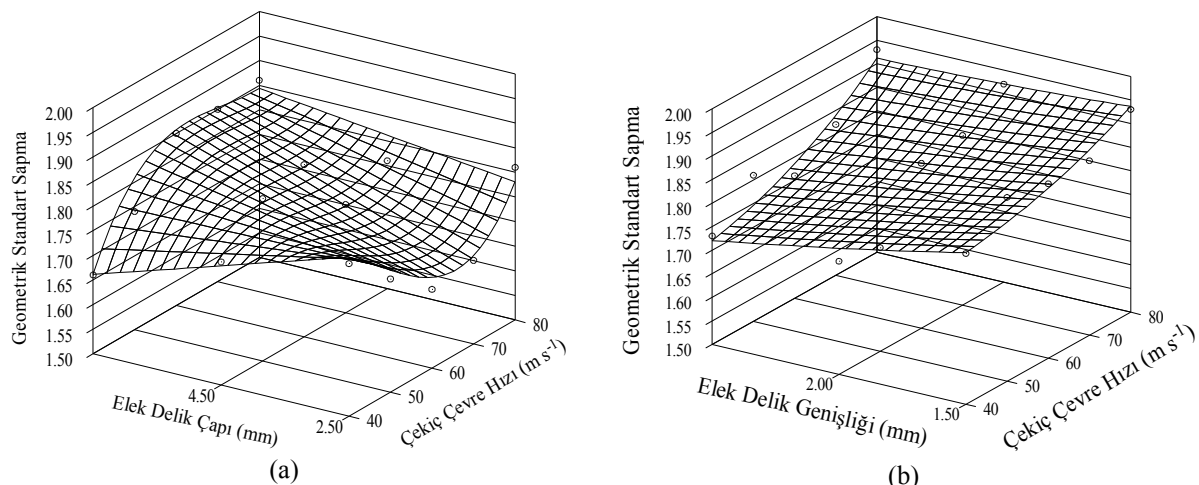


**Şekil 4.** Yuvarlak (a) ve oblong (b) delikli eleklerle öğütmede, ortalama geometrik çapın, elek delik büyülüğü ve çekiç çevre hızına bağlı olarak değişimi [Çekiç çevre hızı ( $w, \text{ms}^{-1}$ ) ve elek delik büyülüğine (yuvarlak delikli eleklerde delik çapı  $d, \text{mm}$ ; oblong delikli eleklerde elek delik genişliği  $b, \text{mm}$ ) bağlı olarak, ortalama geometrik çap ( $d_{gw}, \mu\text{m}$ ) için geliştirilen eşitlikler sırasıyla; yuvarlak delikli eleklerde,  $d_{gw} = 614.70 + 472.64 d - 7.05 wd + 0.034 w^2 d$ ,  $R^2=0.990$ ,  $P<0.01$ ,  $n=15$ , standart hata katsayıları sırasıyla,  $31.73^{**}$ ,  $47.40^{**}$ ,  $1.63^{**}$ ,  $0.014^*$ , oblong delikli eleklerde,  $d_{gw} = -727.20 + 1899.49 b - 48.49 w^{0.5} b^2$ ,  $R^2=0.974$ ,  $P<0.01$ ,  $n=15$ , standart hata katsayıları sırasıyla  $106.33^{**}$ ,  $95.07^{**}$ ,  $2.93^{***}$  dür ( $^{**}: P<0.01$ ;  $^{*}: P<0.05$ ]).

öğütmede saptanan  $S_{gw}$  değerleri,  $60 \text{ ms}^{-1}$  çekiç çevre hızına kadar eğrisel bir değişimle  $1.81$ 'den  $1.66$ 'ya azalmış ve çekiç çevre hızındaki devam eden artışla birlikte tekrar  $1.81$ 'e yükselmiştir.  $4.5$  ve  $6.5$  mm çaplı eleklerle öğütmede ise  $S_{gw}$ ,  $60 \text{ ms}^{-1}$  çekiç çevre hızına kadar eğrisel bir trenle değişerek,  $4.5$  mm çaplı elekte  $1.75$ 'den  $1.85$ 'e,  $6.5$  mm çaplı elekte  $1.66$ 'dan  $1.85$ 'e yükselmiş ve çekiç çevre hızındaki devam eden artışla birlikte,  $6.5$  mm çaplı elekte daha belirgin olmak üzere, yataya yakın bir değişim göstermiştir. Yine, Şekil 5'den görüldüğü gibi, elek delik çaplarındaki artışın  $S_{gw}$ 'ye etkisi ise, çekiç çevre hızına bağlı olarak

farklı bulunmuştur. Buna göre, elek delik çapındaki artışa bağlı olarak,  $S_{gw}$ ,  $40 \text{ ms}^{-1}$  çekiç çevre hızında lineer bir değişimle azalmış,  $40 \text{ ms}^{-1}$ 'nin üzerindeki çekiç çevre hızlarında ise lineer bir değişimle artmıştır.

Yine, Şekil 5'den görüldüğü gibi oblong delikli eleklerle öğütülmüş örnekler için saptanan  $S_{gw}$  değerlerinin, söz konusu faktörlere bağlı olarak değişim trendi, yuvarlak delikli elektrere göre farklı olmuştur. Buna göre,  $40-80 \text{ ms}^{-1}$  çekiç çevre hızı aralığı için saptanan  $S_{gw}$  değerleri,  $1.5$  mm elek delik genişliğinde  $1.82-1.93$ ,  $2$  mm elek delik genişliğinde



**Şekil 5.** Yuvarlak (a) ve oblong (b) delikli eleklerle öğütmede, geometrik standart sapmanın, elek delik büyülüğü ve çekiç çevre hızına bağlı olarak değişimi [Çekiç çevre hızı ( $w, \text{ms}^{-1}$ ) ve elek delik büyülüğine (yuvarlak delikli eleklerde delik çapı  $d, \text{mm}$ ; oblong delikli eleklerde elek delik genişliği  $b, \text{mm}$ ) bağlı olarak, geometrik standart sapma ( $S_{gw}$ ) için geliştirilen eşitlikler sırasıyla; yuvarlak delikli eleklerde,  $S_{gw} = 2.66 - 0.54 d + 0.018 dw - 0.00014 dw^2 - 0.0007 w^2 + 7.84 \cdot 10^{-6} w^3$ ,  $R^2=0.731$ ,  $P<0.01$ ,  $n=15$ , standart hata katsayıları sırasıyla,  $0.25^{**}$ ,  $0.15^{**}$ ,  $0.005^{**}$ ,  $4.20 \cdot 10^{-5}^{**}$ ,  $0.0002^{**}$ ,  $2.30 \cdot 10^{-6}^{**}$ , oblong delikli eleklerde,  $S_{gw} = 2.19 - 0.315 b^{0.5} + 1.71 \cdot 10^{-7} bw^3$ ,  $R^2=0.792$ ,  $P<0.01$ ,  $n=15$ , standart hata katsayıları sırasıyla,  $0.09^{**}$ ,  $0.066^{**}$ ,  $2.82 \cdot 10^{-8}^{**}$ , dür ( $^{**}: P<0.01$ ;  $^{*}: P<0.05$ ]).

1.74-1.92 ve 2.5 mm elek delik genişliğinde 1.73-1.93 arasında olmak üzere, çekici çevre hızındaki artış bağlı olarak lineere yakın bir değişimle artmıştır. Elek delik genişliğindeki artış ise, düşük çekici çevre hızlarında daha belirgin olmak üzere,  $S_{gw}$ 'de, lineere yakın bir değişimle azalma eğilimine neden olmuştur.

### 3.1.3. Özgül yüzey alanı ( $A_t$ )

Yuvarlak ve oblong delikli eleklerle, farklı çekici çevre hızı ve elek delik büyütüklerinde yapılan öğretme sonrası materyale kazandırılan  $A_t$  değerlerindeki değişim, Şekil 6'da verilmiştir. Yapılan çoklu-regresyon analiz sonuçları, her iki elek tipi ile yapılan öğretme sonrası materyale kazandırılan  $A_t$  değerlerinde meydana gelen değişimin, istatistik açıdan önemli olmak üzere ( $P<0.01$ ) çekici çevre hızı ve elek delik büyütüklerinin interaktif etkilerine bağlı olduğunu göstermiştir.

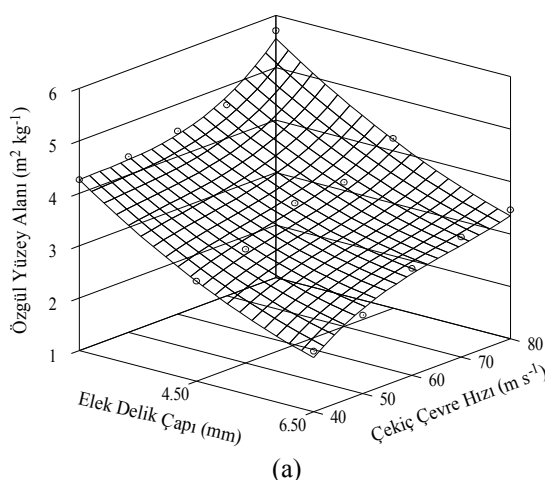
Şekil 6'dan da görüldüğü gibi, yuvarlak delikli eleklerle  $40-80 \text{ ms}^{-1}$  çekici çevre hızı aralığında öğütülen materyalin  $A_t$  değerleri; delik çapı 2.5 mm olan elekte  $4.26-5.71 \text{ m}^2\text{kg}^{-1}$ , delik çapı 4.5 mm olan elekte  $2.91-4.24 \text{ m}^2\text{kg}^{-1}$ , delik çapı 6.5 mm olan elekte  $2.16-3.46 \text{ m}^2\text{kg}^{-1}$  arasında değişmiştir. Elde edilen bu değerlerin değişim trendleri, elek delik çapındaki artışa bağlı olarak hafif bir eğrisellikle azalırken, çekici çevre hızındaki artışla artmıştır. Ancak, çekici çevre hızının etkisi elek delik çaplarına bağlı olarak farklı olmuştur. Buna göre, delik çapı 2.5 mm olan elekte  $A_t$ 'nin artış hızı, çekici çevre hızındaki artışla artarken, delik çapı 6.5 mm olan elekte, çekici çevre hızındaki artışla azalmıştır. Delik çapı 4.5 mm olan elekte ise  $A_t$ , çekici çevre hızındaki artışa bağlı olarak lineere yakın bir değişimle artmıştır. Yine, Şekil 6'dan görüldüğü gibi, oblong delikli eleklerle  $40-80 \text{ ms}^{-1}$  çekici çevre

hızı aralığında öğütülen materyalin  $A_t$  değerleri; delik genişliği 1.5 mm olan elekte  $3.54-4.60 \text{ m}^2\text{kg}^{-1}$ , delik genişliği 2 mm olan elekte  $2.53-3.99 \text{ m}^2\text{kg}^{-1}$ , delik genişliği 2.5 mm olan elekte ise  $2.41-4.00 \text{ m}^2\text{kg}^{-1}$  arasında değişmiş olup, çekici çevre hızındaki artışa bağlı olarak lineere yakın bir değişimle artmıştır. Ayrıca, elek delik genişliğinin 1.5 mm'den 2 mm'ye çıkarılması durumunda,  $A_t$  önemli düzeyde azalırken, elek delik genişliğinin 2 mm'den 2.5 mm'ye çıkarılması,  $A_t$ 'de önemli bir değişim meydana getirmemiştir.

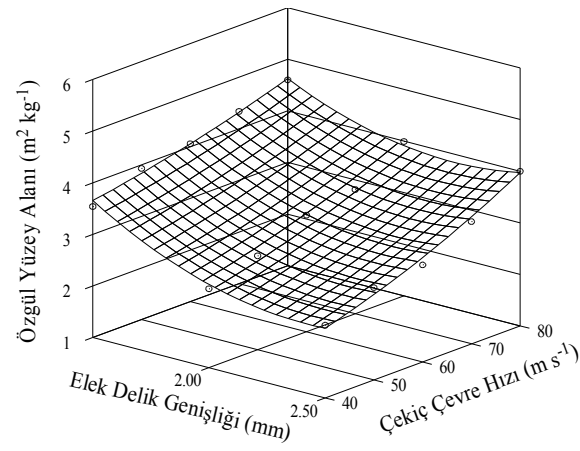
### 3.2. Öğütme kapasitesi ( $Q_\delta$ )

Her bir elek tipi için saptanan  $Q_\delta$  değerlerinin, çekici çevre hızı ve elek delik büyütüğü faktörlerine bağlı olarak değişimini Şekil 7'de verilmiştir. Yapılan çoklu-regresyon analiz sonuçları,  $Q_\delta$ 'de meydana gelen değişimin, her iki elek tipi için de, istatistik açıdan önemli ( $P<0.01$ ) olmak üzere, çekici çevre hızı ve elek delik büyütüklerinin interaktif etkilerine bağlı olduğunu göstermiştir.

Şekil 7'den görüldüğü gibi, her iki elek tipinde de  $Q_\delta$ , çekici çevre hızı ve elek delik büyütüğündeki artısla artmıştır. Ancak, çekici çevre hızındaki artışa bağlı olarak  $Q_\delta$ 'nın artış hızı, yuvarlak delikli eleğe göre, oblong delikli elekte önemli düzeyde yüksek olmuştur. Buna göre,  $40-80 \text{ ms}^{-1}$  çekici çevre hızı aralığında saptanan  $Q_\delta$  değerleri, yuvarlak delikli elekle öğretmede, 2.5 mm elek delik çapında  $0.35-1.08 \text{ th}^{-1}$ , 4.5 mm elek delik çapında  $0.47-1.14 \text{ th}^{-1}$  ve 6.5 mm elek delik çapında  $0.55-1.40 \text{ th}^{-1}$  arasında olmak üzere lineere yakın bir değişimle artmıştır. Oblong delikli elekle öğretmede ise  $Q_\delta$ , 1.5 mm elek delik genişliğinde  $0.39-1.51 \text{ th}^{-1}$ , 2 mm elek delik genişliğinde  $0.44-1.75 \text{ th}^{-1}$  ve 2.5 mm elek delik

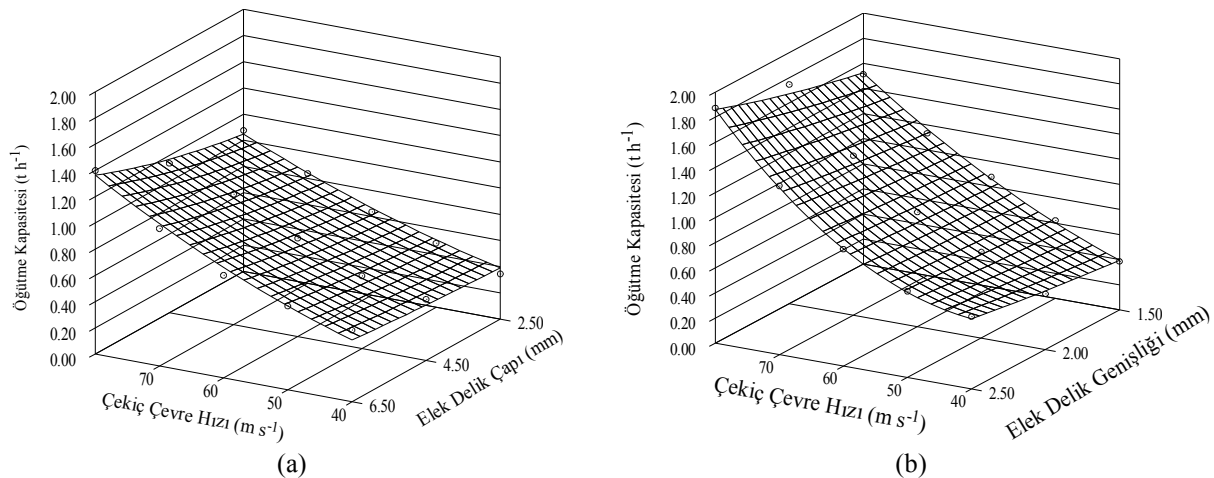


(a)



(b)

**Şekil 6.** Yuvarlak (a) ve oblong (b) delikli eleklerle öğretmede, özgül yüzey alanının, elek delik büyütüğü ve çekici çevre hızına bağlı olarak değişimi [Çekici çevre hızı ( $w, \text{ms}^{-1}$ ) ve elek delik büyütüğüne (yuvarlak delikli eleklerde delik çapı  $d, \text{mm}$ ; oblong delikli eleklerde elek delik genişliği  $b, \text{mm}$ ) bağlı olarak, özgül yüzey alanı ( $A_t, \text{m}^2\text{kg}^{-1}$ ) için geliştirilen eşitlikler sırasıyla; yuvarlak delikli eleklerde,  $A_t = 8.27 - 2.57 d + 0.059 d^2 - 0.00046 dw^2 + 0.055 dw - 0.002 w^2 + 2.43 * 10^{-5} w^3$ ,  $R^2=0.987$ ,  $P<0.01$ ,  $n=15$ , standart hata katsayıları sırasıyla,  $0.82^{**}$ ,  $0.46^{**}$ ,  $0.019^*$ ,  $0.00012^{**}$ ,  $0.015^{**}$ ,  $0.0006^*$ ,  $6.8 * 10^{-6}^{***}$ , oblong delikli eleklerde,  $A_t = 11.43 - 7.73 b + 1.55 b^2 + 0.00013 bw^2$ ,  $R^2=0.982$ ,  $P<0.01$ ,  $n=15$ , standart hata katsayıları sırasıyla,  $0.86^{**}$ ,  $0.89^{**}$ ,  $0.22^{**}$ ,  $7.54 * 10^{-6}^{***}$  dir ( $^{**}: P<0.01$ ;  $^*: P<0.05$ )].



**Şekil 7.** Yuvarlak (a) ve oblong (b) delikli eleklerle öğütmede, öğütme kapasitesinin, elek delik büyülüğü ve çekiç çevre hızına bağlı olarak değişimi [Çekiç çevre hızı ( $w$ ,  $m s^{-1}$ ) ve elek delik büyülüğüne (yuvarlak delikli eleklerde delik çapı  $d$ , mm; oblong delikli eleklerde elek delik genişliği  $b$ , mm) bağlı olarak, öğütme kapasitesi ( $Q_{\delta}$ ,  $t h^{-1}$ ) için geliştirilen eşitlikler sırasıyla; yuvarlak delikli eleklerde,  $Q_{\delta} = 0.174 + 1.28 \times 10^{-4} w^2 + 1.37 \times 10^{-6} w^2 d^2$ ,  $R^2=0.981$ ,  $P<0.01$ ,  $n=15$ , standart hata katsayıları sırasıyla,  $0.027^{**}$ ,  $7.87 \times 10^{-7^{**}}$ ,  $1.84 \times 10^{-7^{**}}$ , oblong delikli eleklerde,  $Q_{\delta} = -0.73 + 0.026 w + 0.35 b^2 - 0.012 wb^2 + 1.1 \times 10^{-4} w^2 b^2$ ,  $R^2=0.996$ ,  $P<0.01$ ,  $n=15$ , standart hata katsayıları sırasıyla,  $0.096^{**}$ ,  $0.0015^{**}$ ,  $0.042^{**}$ ,  $0.0013^{**}$ ,  $1.7 \times 10^{-5^{**}}$  dir ( $^{**}$ :  $P<0.01$ ;  $^{*}$ :  $P<0.05$ ).

genişliğinde 0.58-1.87  $t h^{-1}$  arasında olmak üzere eğrisel bir değişimle artmıştır. Yine, Şekil 7'den görüldüğü gibi, her iki elek tipinde de, elek delik büyülüğündeki artışa bağlı olarak,  $Q_{\delta}$ 'nın artış hızı, genel olarak düşük olmakla birlikte, yüksek çekiç çevre hızlarında daha fazla olmak üzere, lineere yakın bir değişimle artmıştır.

### 3.3. Özgül yüzey alanı ( $A_t$ ) üretimine karşı özgül enerji tüketimi ( $E_{\delta}$ )

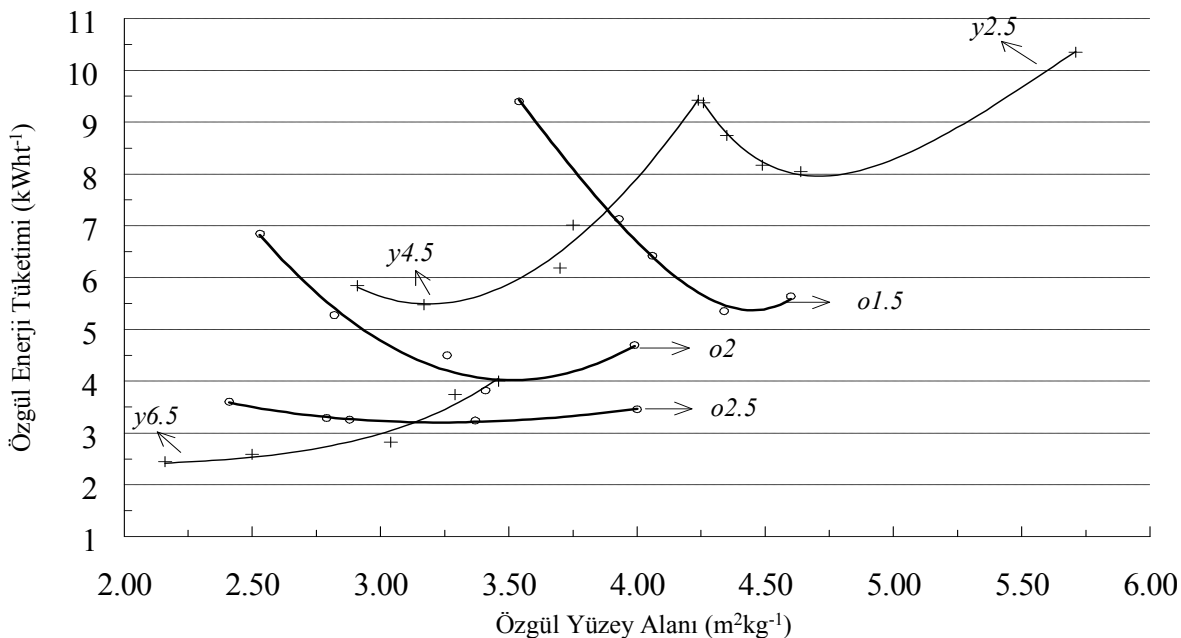
Her bir elekle, 40-80  $m s^{-1}$  çekiç çevre hızı aralığında yapılan öğütme sonrası materyale kazandırılan  $A_t$  değerlerine karşı  $E_{\delta}$ 'nın değişimi, Şekil 8'de verilmiştir. Her bir elek için yapılan regresyon analizi sonuçları,  $A_t$  değerlerine bağlı olarak  $E_{\delta}$  değerlerinde görülen değişimin, istatistik açıdan önemli olmak üzere, yine Şekil 8'de verilmiş olan regresyon eşitliklerine uyduguunu göstermiştir.

Şekil 8'den de görüldüğü gibi, her bir elekle yapılan öğütmede, çekiç çevre hızına bağlı olarak elde edilen  $A_t$  değerleri için  $E_{\delta}$  değerleri, yuvarlak delikli 2.5 mm çaplı elekte 9.38-10.36  $kWht^{-1}$ , 4.5 mm çaplı elekte 5.84-9.42  $kWht^{-1}$  ve 6.5 mm çaplı elekte 2.45-4.00  $kWht^{-1}$  arasında olmak üzere eğrisel bir değişimle artmıştır. Ancak,  $E_{\delta}$ , 2.5 mm çaplı elekte 70  $m s^{-1}$  çekiç çevre hızında elde edilen 4.64  $m^2 kg^{-1}$   $A_t$  değerine kadar eğrisel bir değişimle azalarak 8.05  $kWht^{-1}$ 'a düşmüştür ve çekiç çevre hızındaki artışa bağlı olarak  $A_t$ 'deki artışla birlikte tekrar artmıştır. Benzer şekilde, 4.5 mm çaplı elekte de  $E_{\delta}$ , 50  $m s^{-1}$  çekiç çevre hızında elde edilen 3.17  $m^2 kg^{-1}$   $A_t$  değerine kadar hafif bir azalma (5.48  $kWht^{-1}$ ) eğilimi göstermiş ve çekiç çevre hızındaki artışla birlikte, artan  $A_t$  değerlerine bağlı olarak eğrisel bir değişimle önemli düzeyede artmıştır. Oblong delikli eleklerle yapılan öğütmede ise çekiç çevre hızına bağlı olarak elde edilen  $A_t$  değerlerine

karşılık  $E_{\delta}$  değerleri, delik genişliği 1.5 mm olan elekte 9.40-5.64  $kWht^{-1}$ , delik genişliği 2 mm olan elekte 6.85-4.70  $kWht^{-1}$  ve delik genişliği 2.5 mm olan elekte 3.61-3.46  $kWht^{-1}$  arasında olmak üzere eğrisel bir değişimle azalmıştır. Ancak,  $E_{\delta}$ , tüm elek delik genişliklerinde, 70  $m s^{-1}$  çekiç çevre hızında elde edilen  $A_t$  değerlerine kadar (elek delik genişliği 1.5 mm'de 4.34  $m^2 kg^{-1}$ , 2 mm'de 3.41  $m^2 kg^{-1}$  ve 2.5 mm'de 3.37  $m^2 kg^{-1}$ ) eğrisel bir değişimle azalarak, delik genişliği 1.5 mm olan elekte 5.36  $kWht^{-1}$ , delik genişliği 2 mm olan elekte 3.82  $kWht^{-1}$ , delik genişliği 2.5 mm olan elekte 3.24  $kWht^{-1}$  ile en düşük değere ulaşmıştır. Çekiç çevre hız 80  $m s^{-1}$  ye çıkarıldığında ise, artan  $A_t$  değerlerine bağlı olarak tekrar artış eğilimine girmiştir.

Yine, Şekil 8'den görüldüğü gibi, belirli bir  $A_t$  değerine sahip materyal, farklı eleklerle, farklı çekiç çevre hızlarında yapılan öğütmeye elde edilebilmiştir. Ancak, aynı  $A_t$ 'ye sahip materyal için gereksinim duyuulan  $E_{\delta}$  değerleri, kullanılan eleğe ve çekiç çevre hızlarına göre farklı olmuştur. Buna göre, her bir öğütme uygulaması için elde edilen enerji etkinlik katsayıları, Çizelge 2'de verilmiştir. Çizelge 2'den de görüldüğü gibi, en yüksek enerji etkinlik katsayısı (1.00), 4.00  $m^2 kg^{-1}$   $A_t$ 'ye sahip bir ürün, 2.5 mm delik genişliğine sahip oblong delikli elekte, 80  $m s^{-1}$  çekiç çevre hızında öğütüldüğünde elde edilmiştir. Bu uygulamaya göre, diğer öğütme uygulamalarının enerji etkinlik katsayıları, farklı düzeylerde olmak üzere daha düşük bulunmuştur.

Yine, Çizelge 2'den görüldüğü gibi, 2.16-3.04  $m^2 kg^{-1}$  arasında değişen  $A_t$ 'ye sahip bir materyalin üretimi için en yüksek enerji etkinlik katsayıısı, diğer öğütme uygulamalarına göre, 6.5 mm çaplı yuvarlak delikli elekte, 40-60  $m s^{-1}$  çekiç çevre hızı aralığında yapılan öğütmeye elde edilmiştir. Daha yüksek  $A_t$ 'ye



**Şekil 8.** Farklı elek delik büyütüklerine sahip yuvarlak ve oblong delikli eleklerle öğütmede, özgül enerji tüketiminin, özgül yüzey alanına bağlı olarak değişimi [özgül yüzey alanına ( $A_t$ ,  $\text{m}^2 \text{ kg}^{-1}$ ) bağlı olarak, özgül enerji tüketimi ( $E_\delta$ ,  $\text{kWh t}^{-1}$ ) için geliştirilen eşitlikler sırasıyla; yuvarlak delikli eleklerde, delik çapı 2.5 mm için  $E_\delta = 25.57 - 585.88 (I/A_t)^2 + 96104.84 (I/A_t)^6$ ,  $R^2=0.997$ ,  $P<0.01$ ,  $n=5$ , standart hata katsayıları sırasıyla,  $0.69^{**}$ ,  $25.69^{**}$ ,  $4643.94^{**}$ , delik çapı 4.5 mm için  $E_\delta = 173.14 + 52.61 A_t - 187.83 A_t^{0.5}$ ,  $R^2: 0.980$ ,  $P<0.05$ ,  $n=5$ , standart hata katsayıları sırasıyla,  $36.88^*$ ,  $10.49^*$ ,  $39.42^*$ , delik çapı 6.5 mm için  $E_\delta = 2.36 + 2.86*10^4 A_t^7$ ,  $R^2: 0.955$ ,  $P<0.01$ ,  $n=5$ , standart hata katsayıları sırasıyla,  $0.12^{**}$ ,  $3.59*10^{-5}^{**}$ , oblong delikli eleklerde, elek delik genişliği 1.5 mm için  $E_\delta = 22.69 - 1.09 A_t^2 + 1.42*10^6 A_t^{10}$ ,  $R^2: 0.997$ ,  $P<0.01$ ,  $n=5$ , standart hata katsayıları sırasıyla,  $0.85^{**}$ ,  $0.06^{**}$ ,  $1.36*10^{-7}^{**}$ , elek delik genişliği 2 mm için  $E_\delta = 39.85 - 20.40 A_t + 2.90 A_t^2$ ,  $R^2: 0.968$ ,  $P<0.05$ ,  $n=5$ , standart hata katsayıları sırasıyla,  $5.70^*$ ,  $3.55^*$ ,  $0.54^*$ , elek delik genişliği 2.5 mm için  $E_\delta = 23.74 + 6.36 A_t - 22.85 A_t^{0.5}$ ,  $R^2: 0.984$ ,  $P<0.05$ ,  $n=5$ , standart hata katsayıları sırasıyla,  $1.82^{**}$ ,  $0.57^{**}$ ,  $2.05^{**}$ dir ( $^{**}: P<0.01$ ;  $^*: P<0.05$ )].

( $3.37\text{-}4.60 \text{ m}^2 \text{kg}^{-1}$  arasında) sahip bir materyalin üretiminde ise en yüksek enerji etkinlik katsayısı, delik genişliği 1.5, 2 ve 2.5 mm olan oblong delikli eleklerle,  $70\text{-}80 \text{ ms}^{-1}$  çekici çevre hızı aralığında yapılan öğütmelerde saptanmıştır. Ayrıca, her bir elekle yapılan öğütmelerde saptanan en yüksek enerji etkinlik katsayıları; yuvarlak delikli eleklerde, elek delik çapı 2.5 mm için  $70 \text{ ms}^{-1}$ , elek delik çapı 4.5 mm ve 6.5 mm için  $60 \text{ ms}^{-1}$  çekici çevre hızında elde

edilmiştir. Oblong delikli eleklerde ise, en yüksek enerji etkinlik katsayıları, elek delik genişliği 1.5 mm ve 2.5 mm olan eleklerle  $80 \text{ ms}^{-1}$ , elek delik genişliği 2 mm olan elekte ise  $70 \text{ ms}^{-1}$  çekici çevre hızında yapılan öğütmede saptanmıştır.

#### 4. TARTIŞMA VE SONUÇ

Yuvarlak ve oblong delikli eleklerle yapılan

**Cizelge 2.** Yuvarlak ve oblong delikli eleklerle, farklı delik büyütükleri ve farklı çekici çevre hızlarında yapılan öğütme uygulamalarının enerji etkinlik katsayıları.

Elek tipi	Elek delik büyütüğü (mm)	Çekici çevre hızı ( $\text{ms}^{-1}$ )				
		40	50	60	70	80
Yuvarlak delikli	2.5	0.393 (4.26)	0.430 (4.35)	0.475 (4.49)	0.499 (4.64)	0.477 (5.71)
	4.5	0.431 (2.91)	0.500 (3.17)	0.518 (3.70)	0.462 (3.75)	0.389 (4.24)
	6.5	0.763 (2.16)	0.835 (2.50)	0.930 (3.04)	0.761 (3.29)	0.747 (3.46)
Oblong delikli	19.8x1.5	0.326 (3.54)	0.477 (3.93)	0.547 (4.06)	0.701 (4.34)	0.705 (4.60)
	19.8x2	0.320 (2.53)	0.462 (2.82)	0.627 (3.26)	0.772 (3.41)	0.734 (3.99)
	19.8x2.5	0.578 (2.41)	0.733 (2.79)	0.765 (2.88)	0.899 (3.37)	1.000 (4.00)

Parantez içindeki değerler öğütülmüş materyalin özgül yüzey alanı ( $A_t$ )'dır.

ögütme sonrası elde edilen ortalama geometrik çap değerleri, cekic çevre hızının artmasıyla azalmış, elek delik büyülüklüklerinin artmasıyla artmıştır. Cekic çevre hızındaki artışa bağlı olarak partikül büyülüklüğündeki azalma, cekici değirmenlerde temel etken çarpışma kuvveti olduğundan, cekic çevre hızındaki artışa bağlı olarak çarpışma kuvvetindeki artışın bir sonucudur (Anderson, 1994; Dmitrewski, 1982; Koch, 1996). Elek delik büyülüğu ise partikül büyülüğünü etkileyen önemli bir faktördür (Dmitrewski, 1982; Islam ve Matzen, 1988; Koch, 1996). Oblong delikli eleklerle 1142.1-2040.9  $\mu\text{m}$  aralığında elde edilen ortalama geometrik çap değerleri, yuvarlak delikli eleklerle elde edilen 885.7  $\mu\text{m}$  ve 2273.3  $\mu\text{m}$  ortalama geometrik çap değerlerinin sınırları içinde yer almıştır. Goodband ve ark (2002), domuz beslemede, bugday için optimum partikül büyülüğünün 800-900  $\mu\text{m}$  arasında değiştğini ve etlik piliç beslemede 1000  $\mu\text{m}$ 'nin altındaki partikül büyülüğünün bir yarısı olmadığını bildirmiştir. Yine, Dmitrewski (1982), ortalama partikül büyülüğünün sııqlar için 3000  $\mu\text{m}$ 'nin üzerinde, domuz ve etlik piliç beslemede ise 1000  $\mu\text{m}$ 'nin üzerinde olması gerektiğini belirtmiştir. Ayrıca, aşırı ince öütmenin, sindirim açısından zararlı olduğunu ve maliyeti etkileyen enerji tüketimini artttığını bildirmiştir. Bu bildirimlere göre, yuvarlak delikli eleklerle karşı kullanılan oblong delikli eleklerle, farklı cekic çevre hızı ve farklı elek delik genişliklerinde elde edilen ortalama geometrik çap değerlerinin, hayvan beslemede gereksinim duyulan ortalama partikül büyülüklərini sağladığı söylenebilir.

Yuvarlak ve oblong delikli eleklerle yapılan öütme sonrası elde edilen materyalin geometrik standart sapma değerleri, her iki elek grubunda da cekic çevre hızı ve elek delik büyülüklüklerine bağlı olarak değişmiştir. Ancak, yuvarlak delikli eleklerde, söz konusu faktörlerin geometrik standart sapma değerlerine etkisi, oblong delikli eleklerle göre farklı olmuştur. Buna göre, yuvarlak delikli elekte, geometrik standart sapma değerleri 4.5 mm ve 6.5 mm elek delik çaplarında cekic çevre hızındaki artışa artmış, 2.5 mm elek delik çapında ise, cekic çevre hızındaki artışla çukurlaşan bir eğri şeklinde değişmiştir. Elek delik çapındaki artış ise  $40 \text{ ms}^{-1}$  cekic çevre hızında geometrik standart sapmanın azalmasına, bunun üzerindeki cekic çevre hızlarında ise artmasına neden olmuştur. Oblong delikli eleklerde ise, geometrik standart sapma, cekic çevre hızındaki artışa artmış, elek delik genişliğindeki artışla, hafif bir azalma eğilimi göstermiştir. Yapılan literatür taramasında söz konusu ilişkilerle ilgili çalışmaya rastlanılmamış olması, tartışmayı güçlentirmiştir. Ancak, Baker ve Herrman (1995), partikül büyülükl analizi için kullanılan iki farklı elek seti ( Ro Tap (dairesel hareketli ve çarpa etkili) ve portatif elek silkeleyici (sadece dairesel hareketli)) ile 1191, 594, 297, 150 ve 73  $\mu\text{m}$ 'lik delik çaplarına sahip elek setini kullandıkları çalışmalarında, birinci örnek için Ro Tap silkeleyicide 421  $\mu\text{m}$  ortalama geometrik çap, 2.55

geometrik standart sapma ve portatif elek silkeleyicide 417  $\mu\text{m}$  ortalama geometrik çap, 2.52 geometrik standart sapma, ikinci örnek için ise Ro Tap silkeleyicide 897  $\mu\text{m}$  ortalama geometrik çap, 2.00 geometrik standart sapma ve portatif elek silkeleyicide 900  $\mu\text{m}$  ortalama geometrik çap, 1.94 geometrik standart sapma değerlerini saptamışlardır. Araştırcıların elde ettikleri sonuçlara göre, ortalama geometrik çap değeri arttka geometrik standart sapma değeri azalmıştır. Çalışmamızdan da, genel olarak, benzer sonuçlar elde edilmiştir. Ayrıca, Baker ve Herrman (1995), çoğu yem örneklerinde, geometrik standart sapmanın 2.00-2.40 arasında değiştiğini ve mümkün olması durumunda en iyi geometrik standart sapmanın 1.00 olduğunu belirtmişlerdir. Yuvarlak ve oblong delikli eleklerle yapılan tüm öütme uygulamalarından elde edilen materyallerin geometrik standart sapmalarının ortalaması sırasıyla, 1.77 (standart sapma 0.07) ve 1.83 (standart sapma 0.07) olarak saptanmıştır. Her iki elek grubu arasında ortalama değerler açısından önemli bir farklılık gözlenmez iken, yukarıda verilmiş olan literatür bildirimleriyle de uyumludur.

Ortalama geometrik çap ve geometrik standart sapma değerlerine bağlı olarak hesaplanan özgül yüzey alanı değerleri, genel olarak, her iki elek grubunda da cekic çevre hızındaki artışla artmış ve elek delik büyülüğündeki artışla azalmıştır. Ancak, yuvarlak delikli eleklerde cekic çevre hızının özgül yüzey alanına etkisi elek delik çaplarına bağlı olarak farklı olmuştur. Söz konusu farklılık, geometrik standart sapma üzerine cekic çevre hızının etkisinin, elek delik çaplarına bağlı olarak farklı düzeye olmasının bir sonucudur. Yuvarlak delikli eleklerde, cekic çevre hızı ve elek delik çaplarına bağlı olarak saptanan özgül yüzey alanı değerlerinin değişim trendi, Maloun (2001)'in, 2, 2.5, 3, 3.5, 4 ve 4.5 mm çaplı yuvarlak delikli eleklerle yaptığı çalışmada da belirlenmiştir. Ayrıca, oblong delikli eleklerde, elek delik genişliğinin 2 mm'den 2.5 mm'ye çıkması, tüm cekic çevre hızlarında, özgül yüzey alanı değerlerinde önemli bir azalma neden olmamıştır. Bu durum, 2, 2.5 mm elek delik genişliklerinde cekic çevre hizina bağlı olarak elde edilen ortalama geometrik çap ve geometrik standart sapma değerlerindeki değişime bağlıdır. Yapılan tüm öütme uygulamalarından elde edilen örneklerin minimum-maksimum ortalama geometrik çap değerleri ve bu değerlere karşılık hesaplanan özgül yüzey alanı değerleri sırasıyla, yuvarlak delikli elekte  $885.7 \mu\text{m} - 5.71 \text{ m}^2\text{kg}^{-1}$  ve  $2273.3 \mu\text{m} - 2.16 \text{ m}^2\text{kg}^{-1}$ , oblong delikli elekte ise  $1142.1 \mu\text{m} - 4.60 \text{ m}^2\text{kg}^{-1}$  ve  $2040.9 \mu\text{m} - 2.41 \text{ m}^2\text{kg}^{-1}$  arasında değişmiştir. Buna göre, oblong delikli eleklerle yapılan öütme sonrası elde edilen özgül yüzey alanı değerleri, yuvarlak delikli eleklerle elde edilen özgül yüzey alanı değerlerinin sınırları içerisinde kalmıştır. Ortalama geometrik çap değerlerine karşılık hesaplanan özgül yüzey alanı değerleri, Dmitrewski (1982)'nin öütülmüş arpa için bildirdiği, 200, 1000, 1800 ve 2600  $\mu\text{m}$ 'lik ortalama

partikül büyüklüklerine karşılık sırasıyla, 23.0, 4.6, 2.5,  $1.8 \text{ m}^2\text{kg}^{-1}$  özgül yüzey alanı değerleriyle uyumludur.

Yuvarlak ve oblong delikli eleklerle elde edilen öğretme kapasitesi değerleri, her iki elek grubunda da, çekici çevre hızındaki artışla artmıştır. Ancak, çekici çevre hızındaki artışa bağlı olarak, öğretme kapasitesinin artış hızı, yuvarlak delikli eleklerde hafif bir eğrisellikle artarken, oblong delikli eleklerde, özellikle  $50 \text{ ms}^{-1}$  çekici çevre hızından sonra, önemli düzeyde artmıştır. Yine, öğretme kapasitesi, yüksek çekici çevre hızlarında daha fazla olmak üzere, elek delik büyüklüğündeki artışla artmıştır. Her iki elek grubunda da, öğretme kapasitesi üzerine elek delik büyüklüğünün etkisi, çekici çevre hızının etkisine göre çok daha az olmuştur. Bu sonuçlar, Dmitrewski (1982)'nin, "öğretulen materyalin ortalama partikül boyutunun fonksiyonu olan öğretme kapasitesi, lineer bir değişime sahiptir ve bu kapasiteyi açıklayan düz hatların eğimi çekici çevre hızındaki artışla artar" bildirimiyle uyumludur. Yuvarlak delikli eleklerde, elek delik çapındaki artış, aynı özgül yüzey alanı değerleri için özgül enerji tüketimini azaltmıştır. Ancak, öğretme sonrası elde edilen materyalin özgül yüzey alanı değerlerindeki artışa bağlı olarak özgül enerji tüketimi değerlerinin değişimi, elek delik çaplarına göre farklı olmuştur. Buna göre, özgül enerji tüketimi, 2.5 mm ve 4.5 mm çaplı eleklerde sırasıyla,  $4.64 \text{ m}^2\text{kg}^{-1}$  ( $70 \text{ ms}^{-1}$  çekici çevre hızı) ve  $3.17 \text{ m}^2\text{kg}^{-1}$  ( $50 \text{ ms}^{-1}$  çekici çevre hızı) özgül yüzey alanı değerine kadar eğrisel bir değişimle azalmış ve daha sonra tekrar önemli düzeyeartmıştır. 6.5 mm çaplı elekte ise, özgül yüzey alanı değerlerindeki artış, özgül enerji tüketimini artan bir hızla arttırmıştır. Bu değişim trendi, Maloun (2001)'de verilmiş olan çalışmanın sonuçlarıyla uyumludur. Oblong delikli eleklerle yapılan öğretmede ise, özgül enerji tüketimi, 1.5 mm ve 2 mm elek delik genişliklerinde önemli düzeye olmak üzere, tüm elek delik genişliklerinde,  $70 \text{ ms}^{-1}$  çekici çevre hızında elde edilen özgül yüzey alanı değerlerine kadar, eğrisel bir değişimle azalmış ve daha sonra tekrar artış eğilimine girmiştir. Ancak, 2.5 mm delik genişliğine sahip oblong delikli elekte, özgül yüzey alanı değerlerindeki artışa bağlı olarak, özgül enerji tüketimi, yataya yakın bir değişim göstermiştir. Elek delik büyüklüklerindeki artış ise, aynı özgül yüzey alanı değerleri için özgül enerji tüketimini azaltmıştır. Elde edilen sonuçlara göre,  $3.37-4.60 \text{ m}^2\text{kg}^{-1}$  arasında değişen özgül yüzey alanına sahip bir ürünü elde etmek için oblong delikli eleklerin kullanılması, yuvarlak delikli elektrere göre, elek delik büyüklüklerine bağlı olarak %14.1-%56.3 arasında değişen oranlarda özgül enerji tüketiminin azalmasına neden olmuştur. Bu durum, oblong delikli eleklerle yapılan öğretmede, özellikle yüksek çekici çevre hızlarında, öğretme kapasitesinin, yuvarlak delikli elektrere göre önemli düzeye yüksek olmasının bir sonucudur.

Yapılan veri zarflama analizi sonuçları,  $2.16-3.04 \text{ m}^2\text{kg}^{-1}$  arasında değişen özgül yüzey alanına sahip

ürünlerin, delik çapı 6.5 mm olan yuvarlak delikli elekle  $40-60 \text{ ms}^{-1}$  arasında değişen çekici çevre hızlarında elde edilmesi durumunda, değirmenin enerji etkinlik katsayısının en yüksek olduğunu göstermiştir.  $3.37-4.60 \text{ m}^2\text{kg}^{-1}$  arasında değişen özgül yüzey alanına sahip ürünler için ise, en yüksek enerji etkinlik katsayıları, oblong delikli eleklerle  $70-80 \text{ ms}^{-1}$  çekici çevre hızlarında yapılan öğretmelerde saptanmıştır. Ayrıca, her bir elekle yapılan öğretmelerde saptanan en yüksek enerji etkinlik katsayıları, elek delik büyüklüklerine bağlı olarak değişmekle birlikte,  $60-80 \text{ ms}^{-1}$  çekici çevre hızı aralığında elde edilmiştir. Elde edilen sonuçlar, Islam ve Matzen (1988)'in buğday için yaptıkları çalışmada, özgül enerji tüketiminin elek delik büyüklüğündeki azalmayla arttığı ve  $60-80 \text{ ms}^{-1}$  arasındaki çekici çevre hızlarının özgül enerji tüketimi açısından optimum olduğu yönündeki bildirimleriyle uyumludur.

Sonuç olarak, oblong delikli eleklerle yapılan öğretme sonucunda elde edilen partikül büyüklük dağılımı, yuvarlak delikli eleklerle elde edilen partikül büyüklük dağılımına benzer bir dağılım göstermiştir. Ayrıca, oblong delikli elekler, yuvarlak delikli elektrere göre, öğretme kapasitesinin artmasına ve öğretulen ürünün incelik derecesi arttıkça, özgül enerji tüketiminin azalmasına neden olmuştur. Buna göre, özgül yüzey alanı  $3.37-4.60 \text{ m}^2\text{kg}^{-1}$  arasında değişen ürün elde etmek için oblong delikli eleklerin kullanılması ( $70-80 \text{ ms}^{-1}$  çekici çevre hızlarında), özgül enerji tüketimini, elek delik büyüklüklerine bağlı olarak %14.1-%56.3 arasında azaltmıştır. Özellikle, delik genişliği 2.5 mm olan oblong delikli elektrin, değirmenin performans karakteristikleri üzerine etkisi dikkat çekicidir. Bu elekle, daha yüksek incelik derecesinde ürün elde edebilmek amacıyla,  $80 \text{ ms}^{-1}$  çekici çevre hızının üzerindeki hızlarla çalışmada, çekici değirmenin performans karakteristiklerinin nasıl değiştiğinin araştırılması, teknik açıdan yararlı olabilecek niteliktir.

## 5. KAYNAKLAR

- Anderson, S., 1994. Large Rotor High Speed Hammermills: Beyond Screen Size. Feed Management, Vol. 45, No. 9, Pages 20-22.
- Ayık, M., 1997. Hayvancılıkta Mekanizasyon (III. Baskı). Ankara Üniversitesi Ziraat Fakültesi Yayınları. Yayın No: 1463, Ders Kitabı: 433, Ankara.
- Baker, S., Herrman T., 1995. MF-2051 Feed Manufacturing. Kansas State University Agricultural Experiment Station and Cooperative Extension Servise. Manhatton, KS.
- Baker, S., Herrman T., 2002. MF-2051 Feed Manufacturing. Kansas State University Agricultural Experiment Station and Cooperative Extension Servise. Manhatton, KS.
- Coelli, T. 1996. "A Guide to DEAP Version 2.1: A Data Envelopment Analysis Program" CEPA Working Paper 96/8 Department of Econometrics

- University of New England, Armidale.
- Coelli, T., Rao, D.S.P and Battese, G.E. 1998. An Introduction to Efficiency and Productivity Analysis: Boston, USA: Kluwer Academic Publishers.
- Dmitrewski, J., 1982. Agricultural Machines, Theory and Construction. Vol. 3. TT 75-54072. Warsaw, Poland.
- Dziki, D., 2008. The Crushing of Wheat Kernels and its Consequence on the Grinding Process. Power Technology 185 (2008) 181-186.
- Fang, Q., Bölöni, I., Haque, E., and Spillman, C. K., 1997. Comparison of Energy Efficiency Between a Roller Mill and a Hammer Mill. Applied Engineering in Agriculture. Vol. 13 (5): Pages 631-635.
- Farrell, M.J. 1957. "The Measurement of Productive Efficiency." Journal of Royal Statistical Society Association, 120:253-281.
- Glenn, G. M., Johnston, R. K., 1992. Moisture-Dependent Changes in the Mechanical Properties of Isolated Wheat Bran. Journal of Cereal Science 15 (1992) 223-236.
- Goodband, R. D., Tokach, M. D., and Nelssen J. L., 2002. MF-2050 Feed Manufacturing. Kansas State University Agricultural Experiment Station and Cooperative Extension Service. Manhattan, KS.
- Islam, M. N., Matzen, R., 1988. Size Distribution Analysis of Ground Wheat by Hammer Mill. Power Technology. Vol. 54, Issue 4, Pages 235-241.
- Koch, K., 1996. MF-2048 Feed Manufacturing. Kansas State University Agricultural Experiment Station and Cooperative Extension Service. Manhattan, KS.
- Mabille, F., Grilet, J., and Abecassis J., 2001. Mechanical Properties of Wheat Seed Coats. Cereal Chemistry 78(3) (2001) 231-235.
- Maloun, J., 2001. Technologicka Zarizeni a Hlavni Procesy Pri Vyrobe Krmiv. Ceska Zemedelska Univerzita v Praze, Tecnicka Fakulta.
- Mani, S., Tabil, L. G., 2002. Grinding of Chickpeas. An ASAE Meeting Presentation, Paper No: MBSK 02-211.
- Mohsenin, N. N., 1980. Pyhsical Properties of Plant and Animal Materials. Gordon and Breach, Science Publishers, Inc. One Park Avenue, New York.
- Pasikatan, M. C., Steele, J. L., Milliken, G. A., Spillman, C. K., and Haque, E., 1999. Particle Size Distribution and Sieving Characteristics of First-Break Ground Wheat. ASAE Mid. Central Conference Ramada Inn, St. Joseph, MO, Paper No. MC99-129.
- Pfost, H. B., Headley, V. E., 1972. Use of Logarithmic Normal Distribution to Describe Hammermill Performance. Transactions of the American Society of Agricultural Engineers, 14(3): Pages 531-535.
- Pfost, H. B., Headley, V. E., 1976. Methods of Determining and Expressing Particle Size. In : H. Pfost (ed), Feed Manufacturing Technology II- Appendix C. Am. Feed Manufacturers Assoc., Arlington, VA.
- Pujol, R., Letang, C., Lempereur, A., Chaurand, M., Mabile, F., and Abecassis, J., 2000. Description of and Micromill with Instrumentation Handicap Measuring Grinding Characteristics of Wheat Kernel, Cereal Chemistry 77(4) (2000) 421-427.
- Stamboliadis, E. T., 2007. The Energy Distribution Theory of Comminution Specific Surface Energy, Mill Efficiency and Distribution Mode. Minerals Engineering 20(2007), Pages 140-145.
- Tapela, M., Chimbombi, E. M., 2006. Bulk Density and Particle Size Distribution of Selected Sorghum Milling Products. Botswana Journal of Agriculture and Applied Sciences Vol. 2. Number 1.
- Yavuzcan, G., Erdiler, B., Saral, A., 1987. Ölçme Tekniği. Ankara Üniversitesi Fen Bilimleri Enstitüsü. Yayın No: 3, Ankara.